

(論文)

液晶ディスプレイ用 Al 配線におけるボイド形成メカニズムとその抑制対策

Stress Migration in Sputter-deposited Aluminum Interconnections for Liquid Crystal Displays



大西 隆*(工博)
Dr. Takashi Onishi



高木勝寿*
Katsutoshi Takagi



藤井秀夫**
Hideo Fujii

A comprehensive investigation of stress migration phenomena in Al films was carried out to suppress the development of micro voids formed at the Al interconnections of liquid crystal displays. Detailed examinations concerning the relationship between the void formation behavior and residual stress of Al films led to the following results: Al films deform due to Coble creep or a high temperature creep mechanism during the cooling stage of the annealing process, and micro voids are formed by tensile stress, the primary force. Void suppression techniques based on residual stress control and the strengthening of Al interconnections are proposed.

まえがき = 液晶ディスプレイ (LCD) の配線・電極には純 Al や Al 合金薄膜が広く使用されている^{1)~3)}。LCD は図 1 に示すように、a-Si TFT-LCD (amorphous Si thin film transistor LCD), 低温 p-Si TFT-LCD (poly Si TFT-LCD), 反射型 TFT-LCD などのタイプに分けられるが、ゲートバスラインとソースバスラインが多数交差した配線構造をとっている。それぞれのタイプによって、Al 配線が製造プロセス中で受ける熱履歴は異なるが、通常 350 ~ 450 の熱履歴を受け、これにより生じるストレスマイグレーション (Stress Migration : SM)^{注)} が配線に係わる課題の一つとなっている。

これまでは LCD 用 Al 配線の主要課題はゲート線のヒロック発生であった^{4)~31)}。ヒロックは薄膜配線表面に発生する半球状の突起物であり、加熱などにより薄膜配線に印加される圧縮応力を駆動力に金属薄膜が局所的に塑性変形することで生じる。ヒロック発生には膜厚依存性があり、配線膜厚が薄くなると圧縮応力緩和に必要な転位エネルギーが大きくなるためヒロックは発生しにくくなる³²⁾。プロセス温度の低下に加えて、液晶パネルのスペーシングの減少に伴う配線膜厚の減少により、ヒロックの課題は解消される方向にあるが、逆に配線膜厚の低下はボイド発生という新たな課題を顕在化させることになった^{33)~35)}。

LCD 配線の上部にはパッシベーション膜が形成され、特にゲート線ではその上部にゲート絶縁膜が形成される。これらの形成により配線に強い引張応力がかかると

ボイド発生を引起し、特に膜厚が薄い配線ではボイド発生が顕著となる³⁶⁾。配線に生じるボイドは薄膜表面から厚さ方向に形成されるくぼみであるが、配線の厚さ方向に貫通して、ピンホールになる場合もある。配線中のボイドは LCD の使用により拡大し、最終的に断線に至ることも懸念され、抑制が必須の課題といえる。

本稿では、LCD 用 Al 配線中のボイド抑制の観点から、ボイド発生挙動、原因解析、対策効果に関して調べた結果をまとめる。

1. 実験方法

試料には、DC マグネトロンスパッタリングによりガラス基板 (Corning 社製, #7059) 上に形成したシート状の純 Al または Al-Nd 系合金薄膜を用いた。ボイド発生状況は、基板温度 : $T_s = 200$ で成膜した薄膜 (膜厚 : 100nm) を 350 にて 1 h 真空熱処理を施した後、光学顕微鏡にてボイド密度を測定することで評価した。薄膜試料の熱処理にはホットウォール方式の真空加熱炉を用い、真空度 : 1×10^{-4} Pa 以下の雰囲気で行った。

薄膜応力測定は、レーザを用いた基板反り量の光学的測定法により行い、室温から 500 までの温度範囲での膜応力をその場測定した^{37), 38)}。測定は TENCOR 社製 F2400 型薄膜ストレス測定装置を使用し、 N_2 ガスフロー中で昇降温速度 : 5 /min にて行った。

2. 実験結果及び考察

2.1 Al 配線におけるボイド発生挙動

Al 配線として、LCD に広く使用されている純 Al 及び Al-Nd 系合金配線^{39)~44)}を対象に、ボイド発生挙動を調べた。Al 薄膜に対してボイド発生の支配因子を詳細に調

(注) 配線に電流を流さなくとも、150 程度の加熱を長時間行うことによりスリット状あるいはくさび状のボイドが配線に生じる現象。ボイドが配線を横断すると断線不良に至る。

*技術開発本部 材料研究所 **畿コベルコ科研

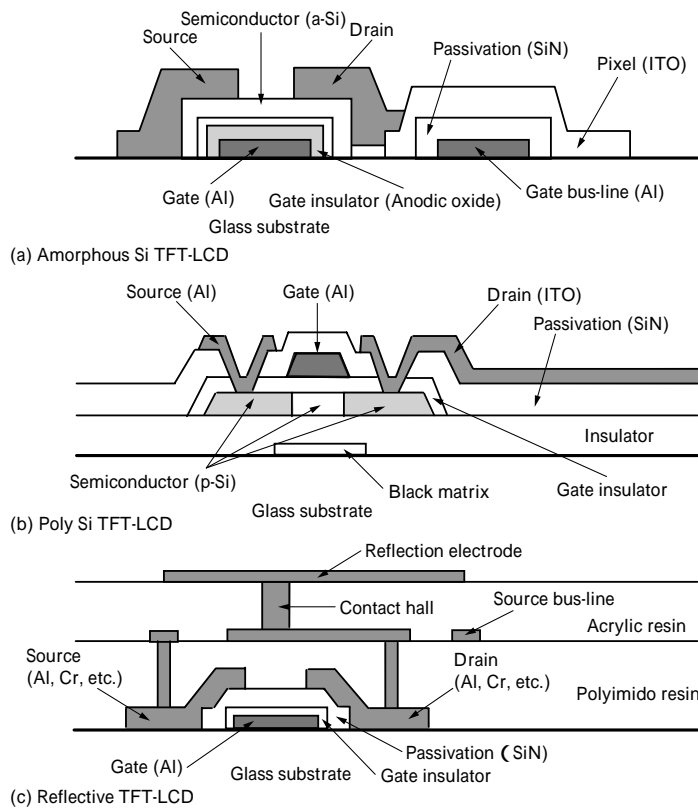


図 1 各種薄膜トランジスタ液晶ディスプレイの断面構造

Fig. 1 Cross-sectional view of thin film transistor liquid crystal displays

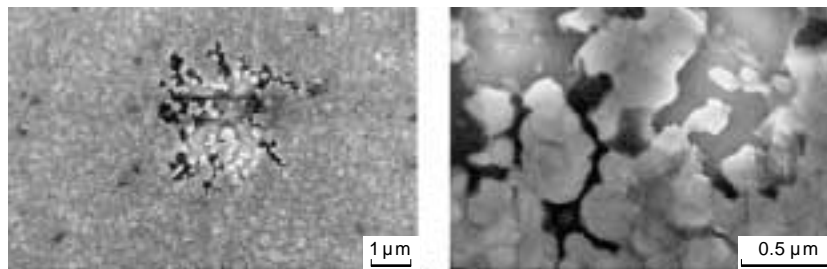


写真 1 純 Al 薄膜に発生するボイドの SEM 像

Photo 1 SEM micrograph of void formed on pure Al films

べた結果、ボイド発生は成膜時の基板温度に強く依存し、基板温度が高いほどボイド密度は増加することがわかった。例えば、ボイド発生状況の評価において、室温成膜した薄膜に発生するボイドは貫通していないのに対して、200 で成膜した薄膜に発生するボイドは密度も高く、ボイドのほとんどが貫通したピンホールとなる。写真 1 に、基板温度： $T_s = 200$ で成膜した純 Al 薄膜に発生したボイドの平面 SEM 像を示す。ボイド部では Al が結晶粒単位で消失しており、結晶粒は薄膜表面から界面に至るまで消失している。薄膜部分では結晶粒の消失以外に組織異常は認められないが、一部結晶粒間に空隙が認められ粒界で原子移動が生じている可能性がある。

図 2 には $T_s = 200$ で成膜した純 Al、Al-2.0at%Nd 合金薄膜におけるボイド密度の経時変化を示す。純 Al 薄膜の方が Al-2.0at%Nd 合金薄膜に比較してボイド密度は高い。しかしながら、ボイド密度の経時変化は両者とも同様の傾向を示す。ボイド密度は成膜後の熱処理 (350, 1h) により急激に増加し、その後の短期間放置 (48h) で最大値に達し、飽和する。この結果から、ボイドの発生には「成膜後の加熱プロセス」が支配因子の一つにな

っていると考えられる。

2.2 Al 配線におけるボイド発生原因解析

純 Al 及び Al-Nd 系合金配線とも、ボイド発生状況の評価において、ボイドを発生するが、その程度は両者で異なる。純 Al 及び Al-Nd 系合金配線それぞれに対してその原因を解析した。

2.2.1 純 Al 配線におけるボイド生成機構

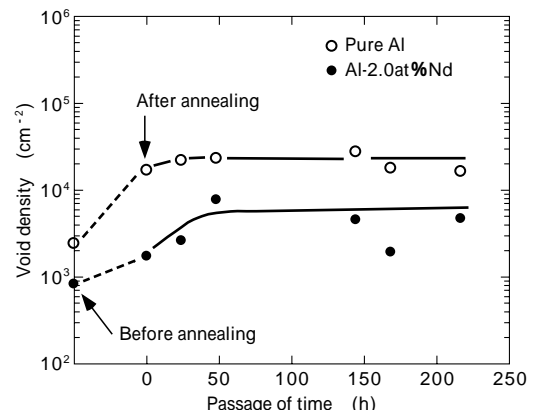


図 2 ボイド密度の経時変化

Fig. 2 Void density change with the elapse of time

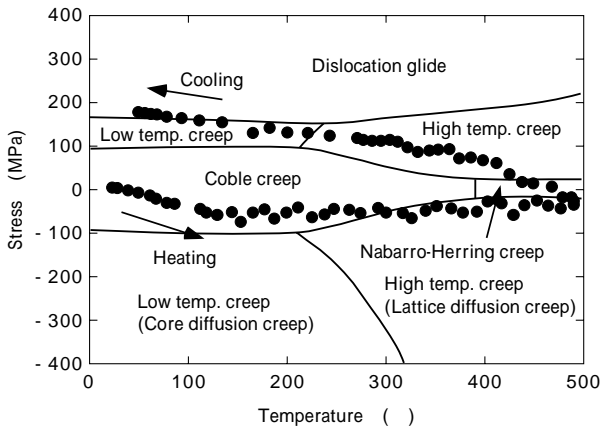


図3 Al 薄膜の変形機構領域図
Fig. 3 Deformation mechanism map of Al films

純 Al 薄膜の加熱・冷却過程での応力変化を図3に示す。図3には Al 薄膜の変形機構領域図⁴⁵⁾も併せて示した。塑性変形機構図は、Ashby らの手法⁴⁶⁾を薄膜用に修正した Thouless⁴⁷⁾の手法を用い、平均結晶粒径：0.1 μm として計算により作成した。すなわち、塑性変形機構(クリープ変形機構)として粒界拡散クリープ(Coble クリープ)： $\dot{\epsilon}_1 / t$ ，格子拡散クリープ(Nabarro-Herring クリープ)： $\dot{\epsilon}_2 / t$ ，転位すべり： $\dot{\epsilon}_3 / t$ ，高温累乗則クリープ(転位クリープ)： $\dot{\epsilon}_4 / t$ ，低温累乗則クリープ(転位芯拡散クリープ)： $\dot{\epsilon}_5 / t$ ，剛性率： μ を抽出し，Al パルクの物性値を代入した式(1)~(6)を用いて，それぞれの機構による歪速度を計算した。所定の温度・圧力下で歪速度： $\dot{\epsilon} / t$ が最も大きくなるクリープ変形機構を選び，その機構を領域化することで図3を作成した。

$$1/ \dot{\epsilon} / t = (1.804 \times 10^{-7} / Td) \exp(-1.010 \times 10^4 / T) \dots (1)$$

$$2/ \dot{\epsilon} / t = (6.135 \times 10^{-4} / Td) \exp(-1.708 \times 10^4 / T) \dots (2)$$

$$3/ \dot{\epsilon} / t = (5.774 \times 10^5) \exp[-(-2.153 \times 10^4 / T \{1 - 3.157 \times 10^{-9}\})] \dots (3)$$

$$4/ \dot{\epsilon} / t = 8473.9 (\mu / T) \{ \sinh(577.4 / \mu) \}^4 \exp(-1.708 \times 10^4 / T) \dots (4)$$

$$5/ \dot{\epsilon} / t = 1421.9 (\mu / T) \{ \sinh(577.4 / \mu) \}^4 \exp(-9.863 \times 10^3 / T) \dots (5)$$

$$\mu = 2.819 \times 10^{10} (1 - 3.294 \times 10^{-4} T) \dots (6)$$

ここに， $\dot{\epsilon}$ ：薄膜応力

T ：温度

d ：平均結晶粒径

μ ：剛性率

Al 薄膜は加熱過程において，150 までの低温域では膜応力が引張から圧縮に直線的に変化する。この直線傾きが弾性定数であり，Al 薄膜はこの温度域で弾性変形を起こす。それ以上の高温域では降伏を起こし，応力は一定値をとる。冷却過程では膜応力は引張側に变化するが，350 までの高温域(低応力域)では弾性変形し，350 以下の低温域(高応力域)では弾性変形直線の傾きからずれを生じる。この過程では弾性変形と塑性変形が競合して起こっていると考えられる。

このように，純 Al 薄膜は冷却過程において引張応力が印加され，350 以下の温度域で塑性変形を生じること

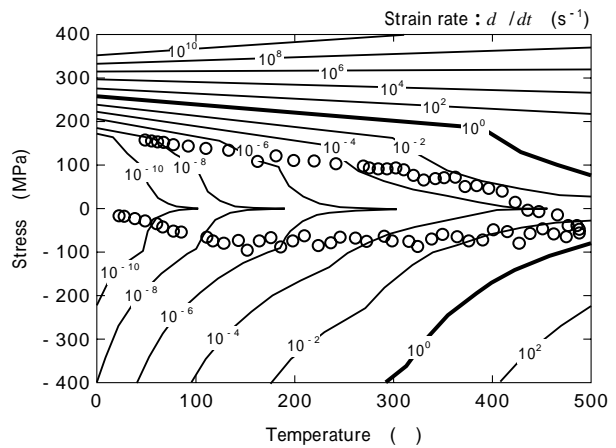


図4 Al 薄膜のクリープ歪速度等高線図
Fig. 4 Contour map of the strain rate for Al films

から，この温度域(350 以下)で SM によりポイドを発生すると考えらる。

純 Al 薄膜の場合，低応力域では粒界拡散クリープ(Coble creep)，高応力域では転位クリープによる塑性変形が支配的であり，さらに高応力・高温域では転位の格子拡散クリープ，高応力・低温域では転位芯拡散クリープが支配的であることが図3の変形機構領域図からわかる。したがって純 Al 薄膜のポイドは転位芯拡散クリープ機構で発生すると考えられる。

式(1)~(6)による最大歪速度計算により求めた所定の温度・応力下での歪速度の等高線図を図4に示す。等高線図の歪速度絶対値から，純 Al が冷却時の低温域(350 以下)でポイドを発生するとすれば，その速度は 10^{-2} s^{-1} と極めて速く，瞬時にポイドを形成することになる。このような推察をふまえて，ポイド発生挙動の SEM によるその場観察を行った結果を写真2に示す。写真2は，基板温度： $T_s = 200$ で成膜した純 Al 薄膜を，室温から 500 まで加熱・冷却した際の各温度における配線の平面 SEM 像を示したものである。写真中の2つの丸印は，薄膜の位置を特定するために付けた目印であり，写真は全て同一箇所での像である。室温から 500 までの昇温過程ではポイドの発生はみとめられず，次いで 500 から 360 までの冷却過程でもポイドの発生はみとめられなかった。310 まで降温した段階でポイドの発生がみとめられ，発生箇所を矢印で示している。さらに，260，200 に降温した段階でもポイドの発生がみとめられたが，200 以下の温度では新たなポイドの発生はなかった。写真2の結果から，ポイドは冷却過程において，300~200 の温度域で発生することが明らかとなり，前記推察を裏付ける結果が得られた。

Al 薄膜のポイド発生挙動は成膜時の基板温度に強く依存することから，異なる基板温度で成膜した純 Al 薄膜の応力状態を種々調べた。基板温度： $T_s = 100$ ，200，300 で形成した純 Al 薄膜に対して，応力・温度曲線に顕著な差違はみとめられなかったが，350 等温保持による応力緩和挙動には差異がみとめられ，その模式図を図5に示す。

基板温度が高いほど初期応力は大きくなるが，その大

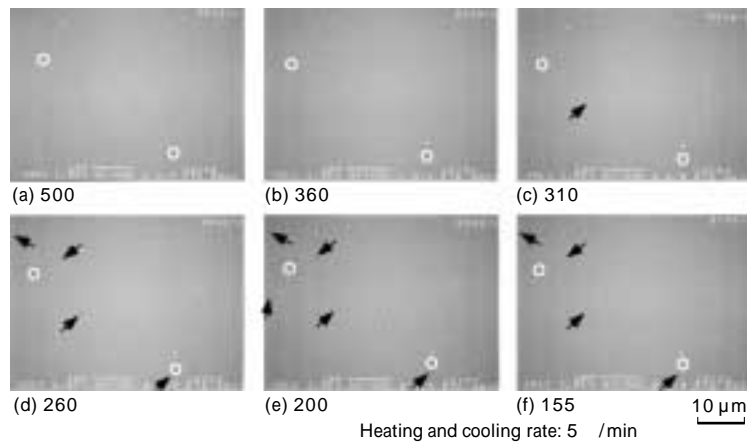


写真2 純 Al 薄膜の冷却過程における SEM 像

Photo 2 SEM micrographs of the surface of pure Al films during cooling stage

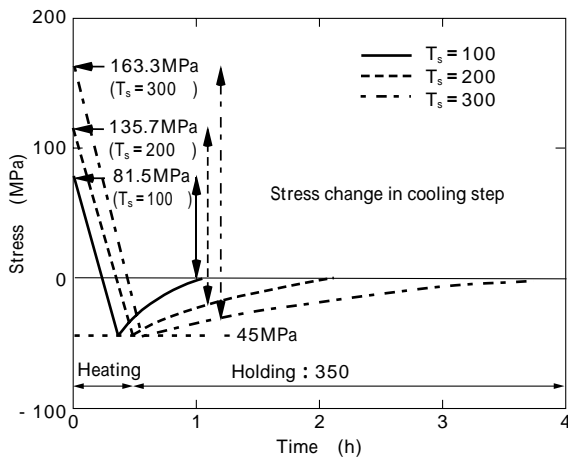


図5 純 Al 薄膜の 350 °C 等温保持による応力緩和挙動

Fig. 5 Stress relaxation behavior of pure Al films under isothermal annealing at 350 °C

小にかかわらず昇温時の最大圧縮応力は同一値となる。これは純 Al 薄膜が一定の低い圧縮応力(- 45MPa 程度)で降伏するためと考えられる。基板温度が高いほど 350 °C 等温保持時の応力緩和速度は小さくなるが、これは基板温度が高いほど Al 薄膜の平均結晶粒径が大きくなり、拡散経路(結晶粒界)が減少するため、粒界拡散クリープ支配の応力緩和が生じにくくなるためと考えられる。すなわち、基板温度が高いほど初期応力が大きく、等温保持時の応力は小さくなり、冷却時の応力変化量が大きくなる。この応力変化量はポイド発生の駆動力であり、純 Al 薄膜では基板温度が高いほどこの駆動力が大きくなるため、ポイド密度が増加すると考えられる。

2.2.2 Al-Nd 合金配線におけるポイド生成機構

図6には基板温度: $T_s = 200$ °C で成膜した Al-2.0at%Nd 合金薄膜の応力-温度曲線を示しているが、この合金薄膜では冷却時に純 Al 薄膜と異なる応力変化挙動をとる。すなわち、冷却過程の高温領域では弾性変形と塑性変形の競合により曲線の傾きは小さくなるが、冷却過程の低温領域では応力-温度曲線の傾きは加熱初期の傾きと等しくなり、弾性変形を起こす。

冷却過程における変形挙動の遷移点を弾性変形開始温度とし、基板温度の異なる Al-2.0at%Nd 合金薄膜に対して弾性変形開始温度を調べた結果を、図7にまとめる。基板温度と弾性変形開始温度には良い相関がみとめら

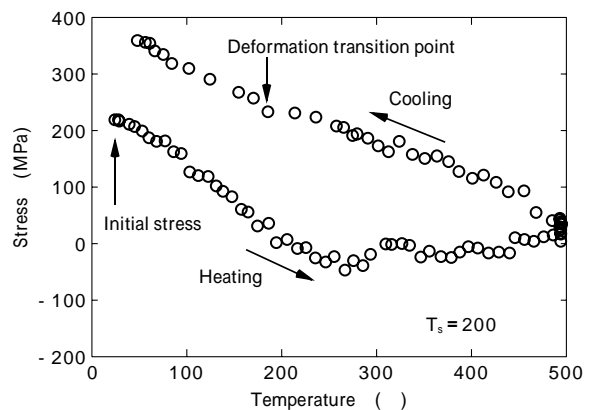


図6 Al-2.0at%Nd 合金薄膜の応力温度曲線

Fig. 6 Stress-temperature curves for Al-2.0at%Nd alloy films

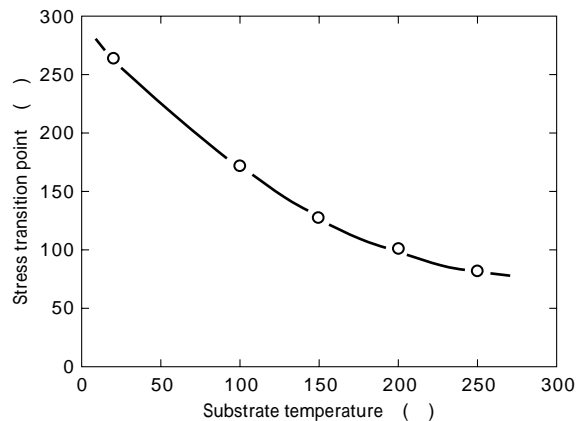


図7 Al-2.0at%Nd 合金薄膜における弾性変形開始温度の基板加熱温度依存性

Fig. 7 Dependence of deformation transition point on substrate temperature during cooling stage in Al-2.0at%Nd alloy films

れ、基板温度が高い Al-2.0at%Nd 合金薄膜ほど弾性変形開始温度は低温になる。この結果から、基板温度が高い試料では冷却時に膜の軟化(転位すべりなど)が起こり、この膜の軟化が低温まで続くと考えられる。この結果からも、Al-Nd 合金薄膜に発生するポイドは、高温下での薄膜の軟化により、冷却時に生じると推察される。

2.3 Al 配線におけるポイド抑制対策

ポイド発生はストレスマイグレーションの一形態であり、加熱などにより Al 配線に印加される引張応力を駆動力に、Al 自身の局所的原子輸送によって生じる現象で

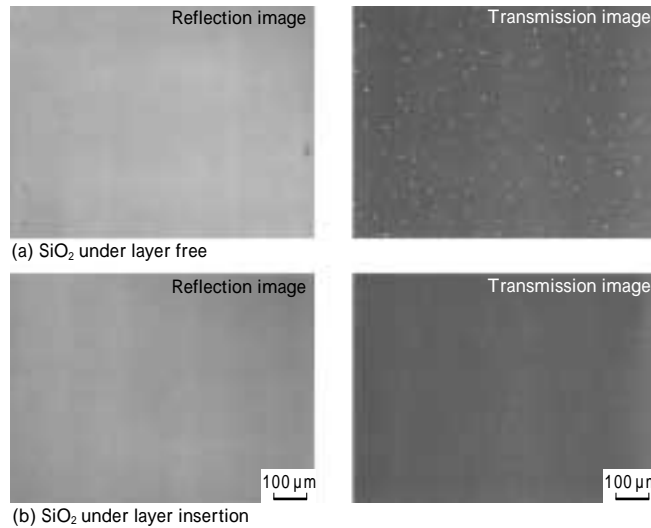


写真3 Al-2.0at%Nd 合金薄膜表面の光学顕微鏡写真

Photo 3 Optical micrographs of the surface of Al-2at%Nd alloy films after void forming assessment

ある。したがって、ポイドを抑制するためには、「配線の残留引張応力の低減」や「配線材料自身の耐力強化」が必要となる。配線応力低減のための具体的対策としては、「配線膜形成時の基板温度の低減」、「配線膜及びその周囲の絶縁膜の形成条件改善」、「配線応力緩和構造の導入」などが考えられ、配線耐力強化のための具体的対策としては、「転位の導入」、「結晶粒界強化」、「密着性向上」、「合金化」などが考えられる。以下にその一例を紹介する。

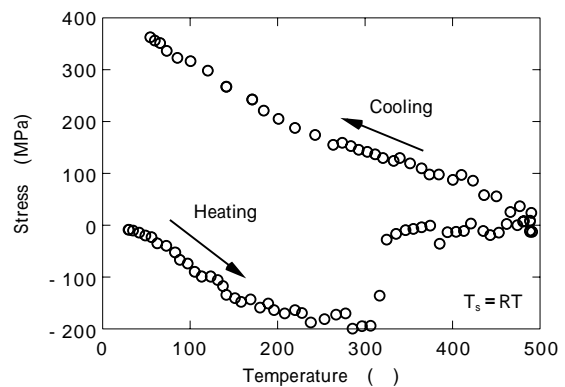
2.3.1 Al 配線の残留引張応力低減

Al 配線膜形成時の基板温度低減がポイド抑制に有効であることはすでに述べたとおりであるが、配線応力緩和構造の導入の観点から、「SiO₂下地膜の採用」はポイド抑制に有効である。写真3は、室温成膜したAl-2at%Nd合金薄膜（膜厚：100 nm）のポイド発生状況評価後の表面を観察した光学顕微鏡写真である。SiO₂下地膜のない場合にはポイド発生状況の評価でポイドが多数確認されるのに対して、SiO₂下地膜のある場合はポイドが確認されない。写真3にはSiO₂下地膜厚が500nmの場合の結果を例示しているが、SiO₂下地膜厚が100～1000nmの範囲で同様の効果がえられている。

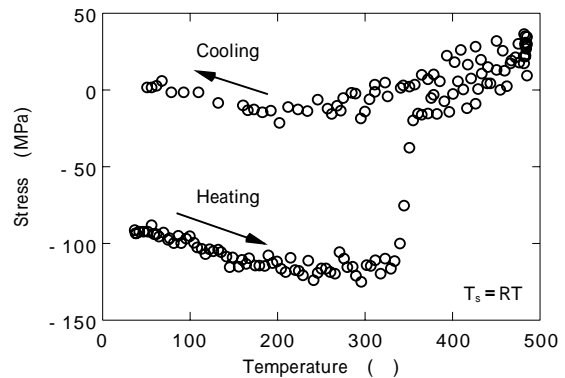
図8には、SiO₂下地膜がある場合とない場合のAl-2at%Nd合金薄膜の応力-温度曲線を示している。SiO₂下地膜がない場合には冷却過程で引張応力が増加していくのに対して、SiO₂下地膜がある場合には冷却過程で引張応力の増加がみられない。SiO₂下地膜を採用することにより、Al薄膜に引張応力が印加されなくなるため、SMが生じず、ポイドを発生させないと考えられる。

2.3.2 Al 配線の耐力強化

Al配線に合金元素を添加し、合金成分・組成の最適化よりポイド抑制を図ることも可能であり、今回取上げたAl-Nd系合金配線などもポイド抑制に有効に作用する。図9には、室温成膜したAl-Nd系合金薄膜における弾性変形開始温度の組成依存性を示す。弾性変形開始温度は組成に大きく依存し、Nd添加量が多くなるほど弾性変形開始温度は高温側にシフトしていく。Nd添加量が多いAl合金薄膜ほど、より高温から弾性変形が始まり、



(a) SiO₂ under layer free



(b) SiO₂ under layer insertion

図8 室温成膜したAl-2.0at%Nd合金薄膜の応力-温度曲線
Fig. 8 Stress-temperature curves for Al-2.0at%Nd alloy films deposited at room temperature

冷却時の耐力が向上するため、ピンホール抑制に有効であると期待できる。

図10には、基板温度： $T_s = 200$ で成膜したAl-Nd系合金薄膜におけるポイド密度の組成依存性を示す。ポイド密度は純Alが最も高く、合金元素を添加するにつれてポイドは徐々に減少していく。Al-Nd系合金薄膜は350の熱処理により、as-deposited状態で固溶しているNdがほぼ全量金属間化合物： Al_4Nd として粒界析出するが、ごく一部のNdは-Alマトリックス中に固溶状態で留まる⁴⁸⁾。Nd添加量が多いAl合金薄膜ほど熱処理後も固溶状態で存在するNdが多くなり、固溶Ndによる高温累

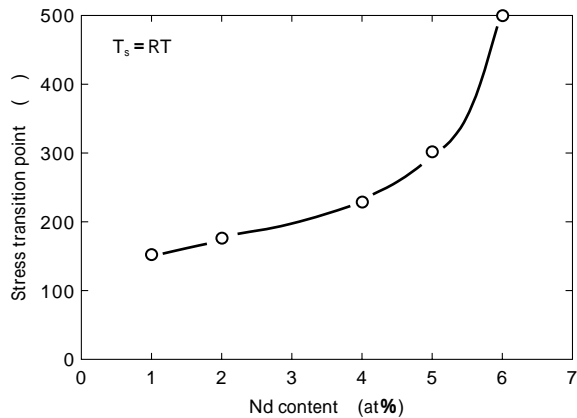


図9 室温成膜したAl合金薄膜における弾性変形開始温度とNd添加量の関係

Fig. 9 Dependence of deformation transition point on Nd content during cooling stage in Al alloy films deposited at room temperature

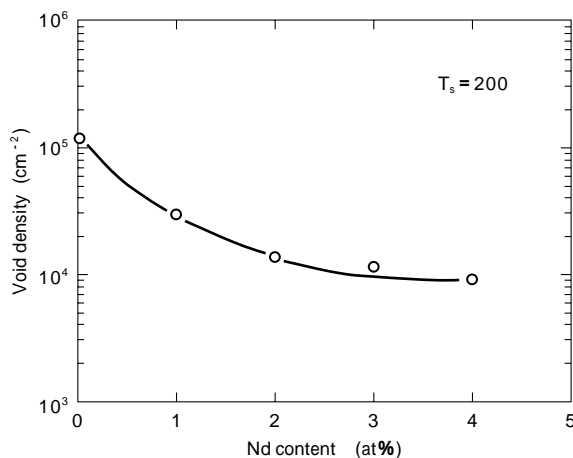


図10 Al合金配線におけるポイド密度とNd添加量の関係

Fig.10 Relationship between void density and Nd content in Al alloy interconnections

乗則クリープの抑制がポイド発生防止に寄与していると考えられる。

むすび=本稿では、LCDにおける高信頼性Al配線の実現を目的に、SMによるポイド発生挙動とその発生原因を概説するとともに、ポイド抑制対策についても言及した。Al配線に発生するポイドは、熱処理後の冷却過程で生じる引張応力を駆動力として、粒界拡散クリープや高温累乗則クリープによるAl原子の移動により生じていると考えられる。そして抑制対策の一つに合金化による配線の耐力強化が挙げられる。当社では、従来から低電気抵抗率かつ高信頼性のLCD用Al合金配線の開発を進めてきたが、なかでもAl-Nd系合金配線はLCDメーカーから高い評価を受け、広く採用されている。LCDの高性能化に伴い、配線材料に求められる要求特性も年々厳しくなっているが、今後ともニーズに的確に応えられるよう配線材料開発を継続していく所存である。

参考文献

- 1) Y. W. Ko et al. : J. Korean Phys. Soc., Vol.33, No.11 (1998) p.s415.
- 2) 日比野吉高ほか : シャープ技報, No. 74 (1999) p.20.
- 3) 横田篤哉ほか : 月刊FPD Intelligence 2000. 3 (2000) p.64.

- 4) C. J. Santoro : J. Electrochem. Soc., Vol.116, No. 3 (1969) p.361.
- 5) F. M. D heurle : Metar. Trans., Vol. 1, No. 3 (1970) p.725.
- 6) K. Sato et al. : Metar. Trans., Vol. 2, No. 3 (1971) p.691.
- 7) A. J. Learn : Thin Solid Films, Vol. 20 (1974) p.261.
- 8) N. G. Dhere et al. : Thin Solid Films, Vol. 30 (1975) p.267.
- 9) F. M. Reicha et al. : Acta Physica Academiae Scientiarum Hungaricae, Vol.49, No.1-3 (1980) p.237.
- 10) F. Ericson et al. : J. Vac. Sci. Technol. B, Vol.9, No.1 (1991) p.58.
- 11) C. Y. Chang et al. : J. Vac. Sci. Technol. A, Vol.9, No.3 (1991) p.559.
- 12) T. Kobayashi et al. : J. Vac. Sci. Technol. A, Vol.5, No.4 (1991) p.2088.
- 13) D. Gerth et al. : Material Science Forum, Vol.94-96, (1992) p.557.
- 14) V. J. Minkiewicz et al. : J. Electrochem. Soc., Vol.139, No.1 (1992) p.271.
- 15) D. Gerth et al. : Thin Solid Films, Vol. 208 (1992) p.67.
- 16) S. Aceto et al. : Thin Solid Films, Vol. 219 (1992) p.80.
- 17) R. A. Schwarzer et al. : J. Electronic Mater., Vol.22, No.6 (1993) p.607.
- 18) M. Tsukada et al. : J. Vac. Sci. Technol. B, Vol.11, No.2 (1993) p.326.
- 19) C. Y. Chang et al. : Thin Solid Films, Vol. 228 (1993) p.205.
- 20) E. Iwamura et al. : J. Vac. Sci. Technol. A, Vol.12, No.5 (1994) p.2922.
- 21) J. Chaiken et al. : Thin Solid Films, Vol. 260 (1995) p.243.
- 22) A. Gladkikh et al. : Appl. Phys. Lett., Vol.66, No.10 (1995) p.224.
- 23) A. Bergauer et al. : Thin Solid Films, Vol.258 (1995) p.115.
- 24) B. C. Martin et al. : Thin Solid Films, Vol.271 (1995) p.64.
- 25) 岩村栄治ほか : 日本金属学会誌, Vol.59, No.6 (1995) p.673.
- 26) E. Iwamura et al. : Thin Solid Films, Vol.270 (1995) p.450.
- 27) F. Y. Genin et al. : J. Appl. Phys., Vol.79, No.7 (1996) p.3560.
- 28) T. Onishi et al. : J. Vac. Sci. Technol. A, Vol.14, No.5 (1996) p.2728.
- 29) T. Onishi et al. : American Institute of Physics Conference Proceedings 418, No.418 (1997) p.383.
- 30) E. Iwamura et al. : Thin Solid Films, Vol.349 (1999) p.191.
- 31) D. Kim et al. : J. Appl. Phys., Vol.90, No.2 (2001) p.781.
- 32) P. Chaudhari : J. Appl. Phys., Vol.45, No.10 (1974) p.4339.
- 33) K. Hinode et al. : J. Vac. Sci. Technol. B, Vol.8, No.3 (1990) p.495.
- 34) W. Tice et al. : J. Vac. Sci. Technol. B, Vol.8, No.1 (1990) p.106.
- 35) V. Ryan et al. : J. Electronic Mater., Vol.24, No.8 (1995) p. 969.
- 36) 岡林秀和 : 応用物理, Vol.59, No.11 (1990) p.1461.
- 37) M. Hersckovutz et al. : Thin Solid Films, Vol.130 (1985) p.87.
- 38) P. A. Flinn et al. : IEEE Trans. Electron Devices ED Vol.34, No.XX (1987) p.689.
- 39) 大西 隆ほか : R&D 神戸製鋼技報, Vol.48, No.3 (1998) p.29.
- 40) T. Onishi et al. : Thin Solid Films, Vol. 340 (1999) p.306.
- 41) H. R. Han et al. : Surface and Coatings Technology, Vol.133-134 (2000) p.606.
- 42) M. Ue et al. : Electrochimica Acta, Vol.47 (2001) p.217.
- 43) F. Mizutani et al. : J. Electrochem. Soc., Vol.148, No.10 (2001) p.B419.
- 44) T. Arai et al. : Thin Solid Films, Vol.383 (2001) p.287.
- 45) 丸山公一ほか : 高温強度の材料科学 (1997) p.15, 内田老鶴園 .
- 46) H. J. Frost et al. : Deformation Mechanism Maps (1982) p.20, Pergamon Press.
- 47) M. D. Thouless et al. : J. Mater. Res., Vol.8, No.8 (1993) p.1845.
- 48) T. Onishi et al. : J. Vac. Sci. Technol. A, Vol.15, No.4 (1997) p.2339.